

Corsi di aggiornamento

# Progettazione strutturale e Nuove Norme Tecniche per le Costruzioni

## 3. Progetto di edifici antisismici in c.a. con struttura a telaio

23 - Ulteriori aspetti: nodi, impalcati, fondazioni

Spoletto

1-2 marzo 2018

Aurelio Ghersi

# Ulteriori passi

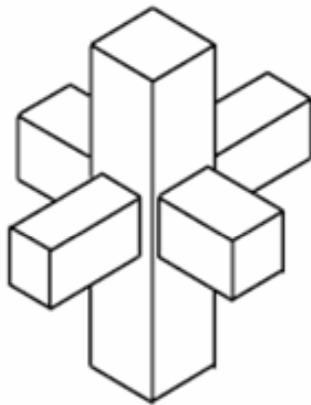
- Verifica ed armatura dei nodi  
(è opportuno armarli bene, ma le regole applicative della norma portano spesso a valori eccessivi, non realizzabili)
- Verifica ed armatura degli impalcati
- Verifica ed armatura degli elementi di fondazione

# Confinamento dei nodi

## Nodi interamente confinati

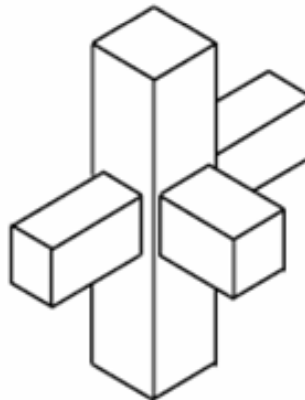
- In ognuna delle 4 facce si innestano travi
- Le travi sono sovrapposte ai pilastri per almeno i  $\frac{3}{4}$  della larghezza del pilastro (e tra loro per i  $\frac{3}{4}$  dell'altezza)

Per i nodi interamente confinati  
non occorrono verifiche

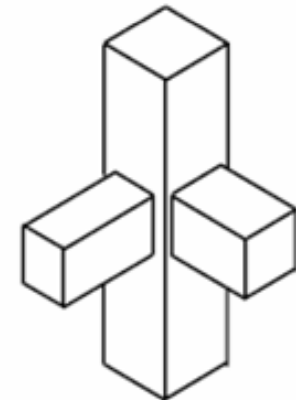


Nodo interno,  
interamente  
confinato

Nodi non  
interamente  
confinati

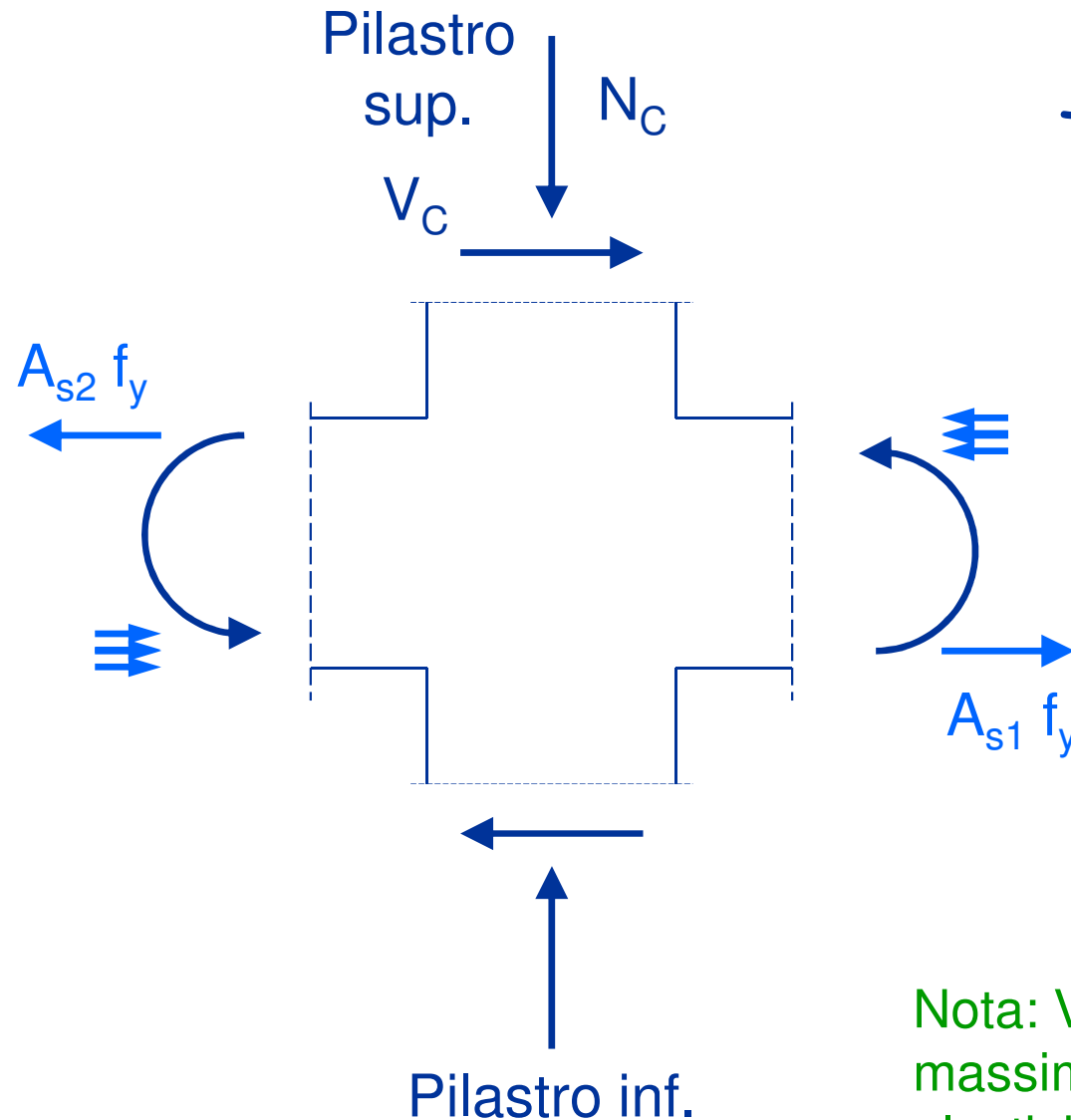


Nodo laterale



Nodo d'angolo

# Azione tagliante nel nodo



Taglio sollecitante il nodo

$$V_j = V_C - (A_{s1} + A_{s2}) f_y$$

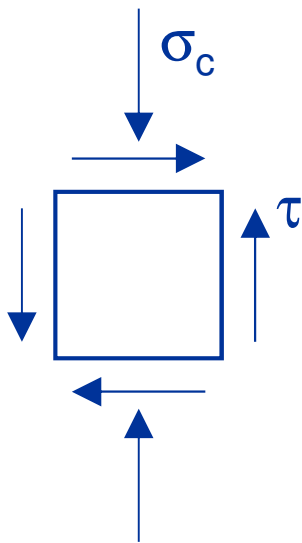
La norma aggiunge il coefficiente  $\gamma_{Rd}$

$$V_j = V_C - \gamma_{Rd} (A_{s1} + A_{s2}) f_y$$

Nota:  $V_C$  = taglio fornito dal calcolo o massimo taglio corrispondente alla plasticizzazione degli estremi del pilastro

# Verifica del nodo

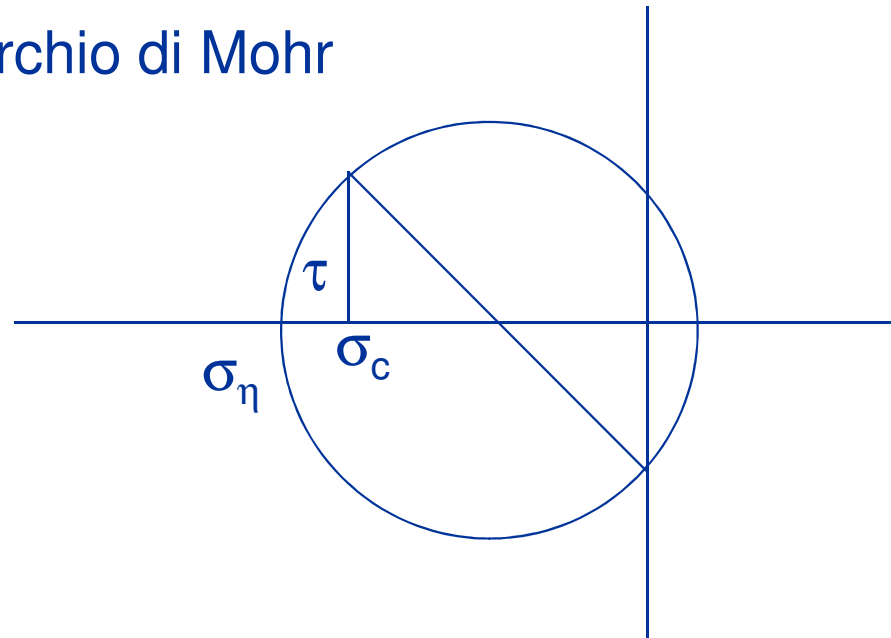
compressione - in assenza di specifiche armature



$$\sigma_c = \frac{N}{b h}$$

$$\tau = \frac{V_j}{b h}$$

Cerchio di Mohr



$$\sigma_\eta = \sqrt{\left(\frac{\sigma_c}{2}\right)^2 + \tau^2} + \left(\frac{\sigma_c}{2}\right) \leq \eta f_c$$

compressione

# Verifica del nodo

compressione - in assenza di specifiche armature

$$\sigma_{\eta} = \sqrt{\left(\frac{\sigma_c}{2}\right)^2 + \tau^2} + \left(\frac{\sigma_c}{2}\right) \leq \eta f_c \quad \text{compressione}$$

con semplici passaggi  
(vedi file Nodo.pdf)

$$\tau \leq \eta f_c \sqrt{1 - \frac{\sigma_c}{\eta f_c}}$$

ovvero  
NTC 08, punto 7.4.4.3.1

$$V_j \leq \eta f_c b h \sqrt{1 - \frac{v}{\eta}}$$

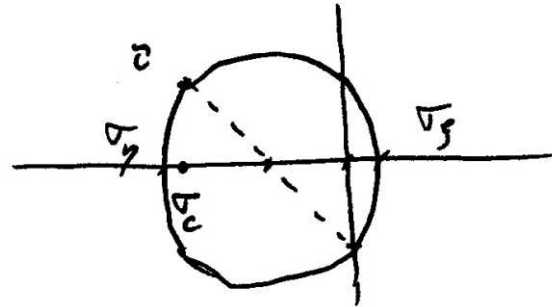
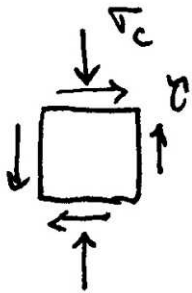
$$v = \frac{N}{b h f_c}$$

$$\eta = \alpha_j \left(1 - \frac{f_c}{250}\right)$$

$\alpha_j = 0.60$       nodo interno

$\alpha_j = 0.48$       nodo esterno

# Nodo senza armature



$$q_{\gamma} = \sqrt{\left(\frac{\sigma_c}{2}\right)^2 + \tau^2} + \frac{\sigma}{2}$$

compressione

$$\sigma_{\gamma} \leq \eta f_c$$

$$\sqrt{\left(\frac{\sigma_c}{2}\right)^2 + \tau^2} + \frac{\sigma}{2} \leq \eta f_c$$

$$\left(\frac{\sigma_c}{2}\right)^2 + \tau^2 \leq \left(\eta f_c - \frac{\sigma}{2}\right)^2$$

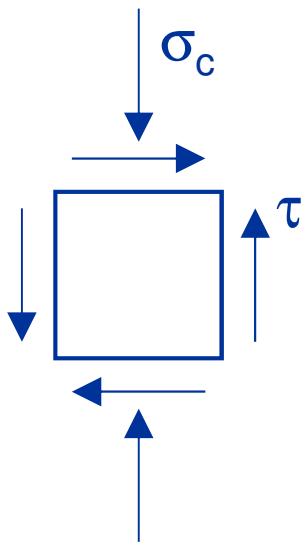
$$\cancel{\left(\frac{\sigma}{2}\right)^2} + \tau^2 \leq (\eta f_c)^2 + \cancel{\left(\frac{\sigma}{2}\right)^2} - \eta f_c \sigma$$

$$\tau^2 \leq (\eta f_c)^2 \left(1 - \frac{\sigma}{\eta f_c}\right)$$

$$\tau \leq \eta f_c \sqrt{1 - \frac{\sigma}{\eta f_c}}$$

# Verifica del nodo

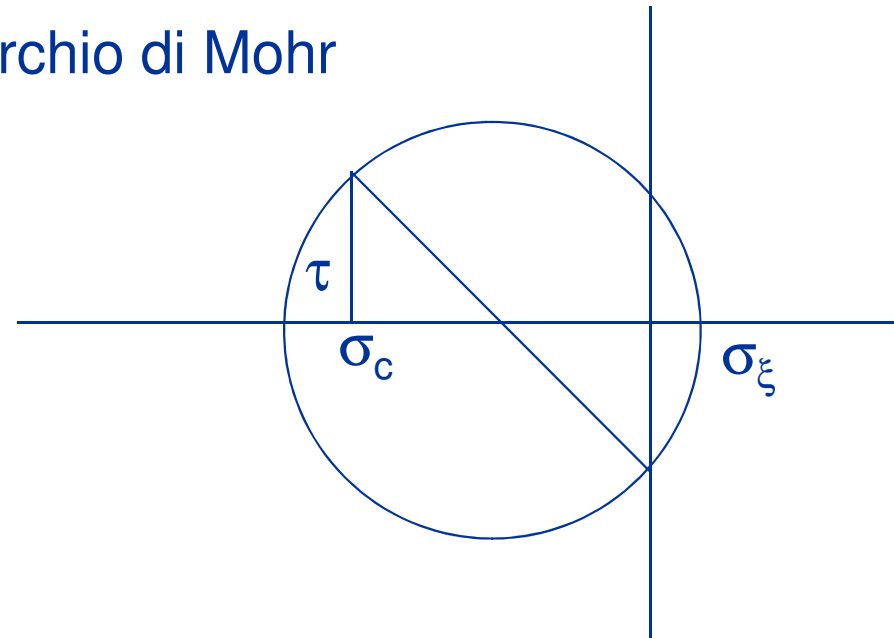
trazione - in assenza di specifiche armature



$$\sigma_c = \frac{N}{b h}$$

$$\tau = \frac{V_j}{b h}$$

Cerchio di Mohr



$$\sigma_\xi = \sqrt{\left(\frac{\sigma_c}{2}\right)^2 + \tau^2} - \left(\frac{\sigma_c}{2}\right) \leq f_{ct}$$

trazione

# Verifica del nodo

trazione - in assenza di specifiche armature

$$\sigma_{\eta} = \sqrt{\left(\frac{\sigma_c}{2}\right)^2 + \tau^2} - \left(\frac{\sigma_c}{2}\right) \leq f_{ct} \quad \text{trazione}$$

si può ottenere

$$\tau \leq f_{ct} \sqrt{1 + \frac{\sigma_c}{f_{ct}}}$$

ovvero

$$V_j \leq f_{ct} b h \sqrt{1 + \frac{N}{b h f_{ct}}}$$

$$f_{ctm} = 0.3 f_{ck}^{2/3}$$

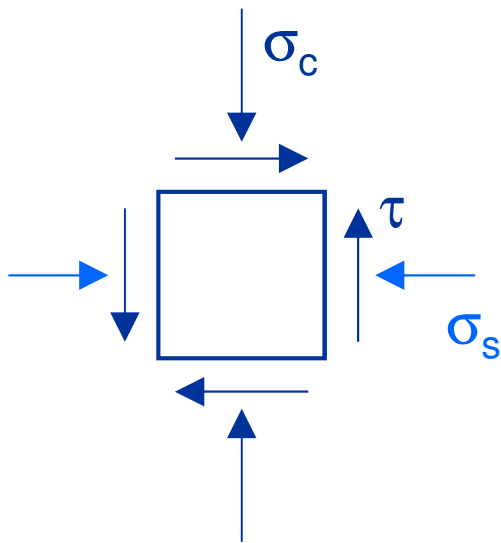
NTC 08

$$f_{ctm} = 0.3 \sqrt{f_c}$$

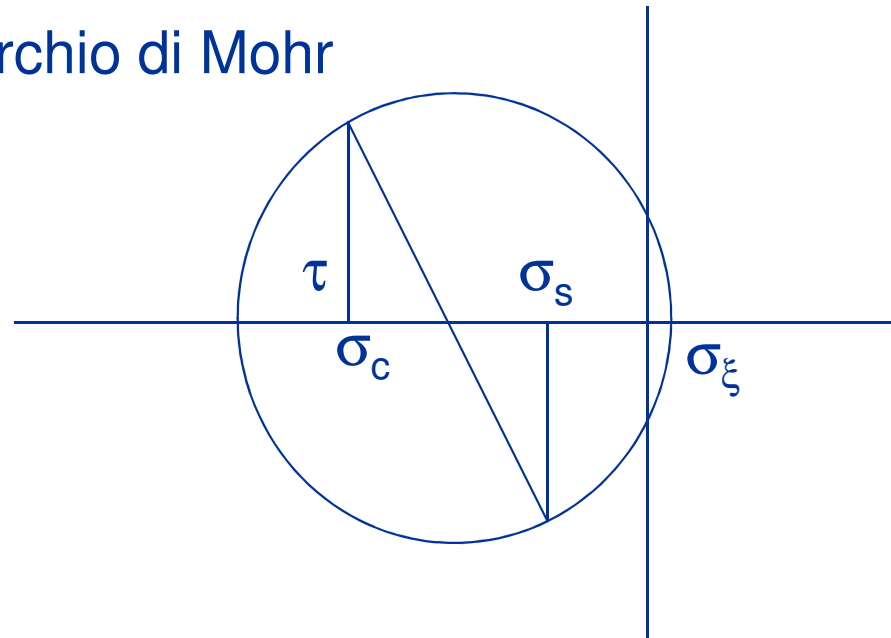
OPCM 3431

# Verifica del nodo

trazione - in presenza di armature orizzontali



Cerchio di Mohr



$$\sigma_c = \frac{N}{b h} \quad \sigma_s = \frac{A_s f_y}{b h}$$

$$\tau = \frac{V_j}{b h}$$

$$\sigma_\xi = \sqrt{\left(\frac{\sigma_c - \sigma_s}{2}\right)^2 + \tau^2} - \left(\frac{\sigma_c + \sigma_s}{2}\right) \leq f_{ct}$$

trazione

# Verifica del nodo

trazione - in presenza di armature orizzontali

$$\sigma_{\xi} = \sqrt{\left(\frac{\sigma_c - \sigma_s}{2}\right)^2 + \tau^2} - \left(\frac{\sigma_c + \sigma_s}{2}\right) \leq f_{ct} \quad \text{trazione}$$

con semplici passaggi  
(vedi file Nodo.pdf)

$$\tau \leq \sqrt{(f_{ct} + \sigma_c)(f_{ct} + \sigma_s)} \quad \text{per verifica}$$

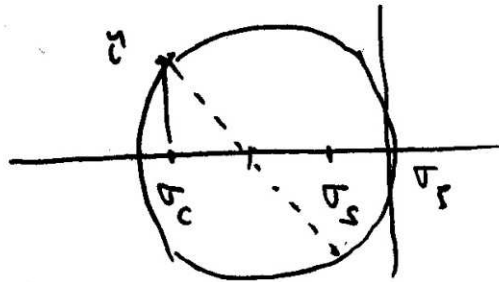
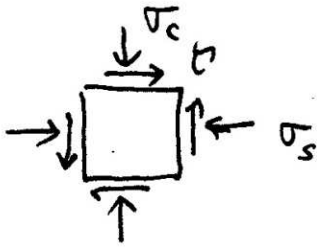
$$\sigma_s \geq \frac{\tau^2}{f_{ct} + \sigma_c} - f_{ct} \quad \text{per progetto armatura}$$

ovvero  
NTC 08, punto 7.4.4.3.1

$$\frac{A_s f_y}{b h} \geq \frac{(V / b h)^2}{f_{ct} + v f_c} - f_{ct}$$

$$v = \frac{N}{b h f_c}$$

# Nodo con armature



$$\sigma_s = \sqrt{\left(\frac{\sigma_c - \sigma_s}{2}\right)^2 + \tau^2} - \frac{\sigma_c + \sigma_s}{2}$$

tensione

$$\sigma_s \leq f_{ctd}$$

$$\sqrt{\left(\frac{\sigma_c - \sigma_s}{2}\right)^2 + \tau^2} - \frac{\sigma_c + \sigma_s}{2} \leq f_{ctd}$$

$$\left(\frac{\sigma_c - \sigma_s}{2}\right)^2 + \tau^2 \leq \left(f_{ctd} + \frac{\sigma_c + \sigma_s}{2}\right)^2 = f_{ctd}^2 + \left(\frac{\sigma_c + \sigma_s}{2}\right)^2 + f_{ctd}(\sigma_c + \sigma_s)$$

$$\cancel{\frac{\sigma_c^2}{4}} + \cancel{\frac{\sigma_s^2}{4}} - \frac{\sigma_c \sigma_s}{2} + \tau^2 \leq f_{ctd}^2 + \cancel{\frac{\sigma_c^2}{4}} + \cancel{\frac{\sigma_s^2}{4}} + \frac{\sigma_c \sigma_s}{2} + f_{ctd} \sigma_c + f_{ctd} \sigma_s$$

$$\tau^2 \leq (f_{ctd} + \sigma_c)(f_{ctd} + \sigma_s)$$

$$\sigma_s \geq \frac{\tau^2}{f_{ctd} + \sigma_c} - f_{ctd}$$

# Staffe nel nodo

- La normativa impone di effettuare le verifiche innanzi indicate solo per nodi non confinati di struttura di classe di duttilità A
  - I valori di staffe nel nodo che si ottengono sono veramente alti, difficilmente proponibili
  - Ci sono studi sperimentali e (sembra) la normativa neozelandese che indicano che serve una minore quantità di staffe nel nodo

# Staffe nel nodo

- La normativa impone comunque, indipendentemente dalla classe di duttilità, di disporre in nodi non confinati una quantità di staffe che rispetti la condizione

$$\frac{n_{st} A_{st}}{i b_j} \geq 0.05 \frac{f_{ck}}{f_{yk}}$$

ovvero che l'interasse  $i$  delle staffe nel nodo sia

$$i \leq \frac{n_{st} A_{st}}{b_j 0.05 \frac{f_{ck}}{f_{yk}}}$$

# Staffe nel nodo

- Esempio
  - $f_{ck}=25 \text{ MPa}$       $f_{yk}=450 \text{ MPa}$
  - $n_{st}=2$       $A_{st}=0.5 \text{ cm}^2$
  - $b_j=30 \text{ cm}$

si ottiene

$$i \leq \frac{2 \times 0.5}{30 \times 0.05 \frac{25}{450}} = 12 \text{ cm}$$

che è un valore pienamente accettabile

# Verifica di rigidezza dell'impalcato

È necessaria solo se si è effettuata l'ipotesi di impalcato planimetricamente indeformabile

Richiede di:

- analizzare l'impalcato estratto dalla struttura e soggetto ad un insieme di azioni equilibrate
- calcolarne la deformazione con schema di lastra o, se una dimensione è predominante, con schema di trave deformabile a taglio
- confrontare le deformazioni relative tra impalcati adiacenti con gli spostamenti relativi forniti dalla risoluzione del telaio spaziale

# Verifica di resistenza dell'impalcato

È sempre necessaria

Richiede di:

- analizzare l'impalcato estratto dalla struttura e soggetto ad un insieme di azioni equilibrate
- calcolarne lo stato tensionale (con schema di lastra o, se una dimensione è predominante, con schema di trave)
- valutare l'ammissibilità della sezione in calcestruzzo e l'eventuale necessità di armature aggiuntive per garantire la resistenza

Gerarchia delle resistenze: incrementare del 30% le forze ottenute dall'analisi  
(confermato da NTC 08)

# Verifica delle fondazioni

## 1 - azioni sulle fondazioni

- Le azioni sulle fondazioni devono essere valutate nel rispetto della gerarchia delle resistenze

Si considera quindi agente:

- Lo sforzo normale dovuto a carichi quasi permanenti più azione sismica;
- Il momento resistente del pilastro associato a quel valore dello sforzo normale

Nota: come momento  $M$  non si deve prendere più di:

- $\gamma_{Rd}$  per valore uscito dal calcolo  
( $\gamma_{Rd} = 1.1$  per CD "B",  $1.3$  per CD "A")
- Il valore che esce dal calcolo con  $q=1$

# Verifica delle fondazioni

## 2 - fondazioni dirette, criteri di progetto

- Normali verifiche allo stato limite ultimo

Nota: la normativa dice

“le fondazioni superficiali devono essere progettate per rimanere in campo elastico. Non sono quindi necessarie armature specifiche per ottenere un comportamento duttile”  
ma questo vuol dire semplicemente che non occorrono accorgimenti particolari, a parte la normale verifica agli SLU

# Verifica delle fondazioni

## 3 - fondazioni dirette, armature

- Normali armature per allo stato limite ultimo

Nota: armatura longitudinale non inferiore allo 0.2% della sezione

# Verifica delle fondazioni

## 4 - fondazioni su pali

- Tener conto, se occorre, dell'interazione cinematica
- Disporre un'armatura longitudinale non inferiore allo 0.3% della sezione

# Verifica delle fondazioni

## 5 - spostamenti relativi

- Tener conto degli effetti che possono essere indotti da spostamenti relativi
- Non occorre calcolo specifico di tali effetti se si collegano le fondazioni con un reticolo di travi o con una piastra in grado di sopportare azioni assiali:

$$0.3 N_{sd} a_{max}/g \quad \text{per suolo tipo B}$$

$$0.4 N_{sd} a_{max}/g \quad \text{per suolo tipo C}$$

$$0.6 N_{sd} a_{max}/g \quad \text{per suolo tipo D}$$

$N_{sd}$  = valore medio delle forze verticali sugli elementi collegati

$$a_{max} = a_g S$$